

بررسی تصفیه پذیری هوای آلوده صنعتی به تری اتیل آمین با روش بیولوژیکی

هما کشاورزی شیرازی^{*}، ایوب ترکیان^۱، علی اکبر عظیمی^۲ و ناصر مهردادی^۳

^۱ مریبی دانشکده محیط زیست - دانشگاه تهران

^۲ عضو هیئت علمی و رئیس مرکز آب و انرژی دانشگاه صنعتی شریف

^۳ استادیار دانشکده محیط زیست - دانشگاه تهران

(تاریخ دریافت ۸۵/۸/۲۷ ، تاریخ دریافت روایت اصلاح شده ۸۶/۲/۱۵ ، تاریخ تصویب ۸۶/۳/۴۰)

چکیده

در این پژوهش تجزیه بیولوژیکی گاز تری اتیل آمین(TEA) به عنوان یکی از روش‌های کنترل آلاینده‌های صنعتی مورد بررسی قرار گرفته است، دو راکتور با حجم مؤثر ۶۶ لیتر که هر یک از سه بخش جداگانه تشکیل شده بود در دمای‌های $22 \pm 2^{\circ}\text{C}$ (راکتور A)، $20 \pm 2^{\circ}\text{C}$ (راکتور B) استفاده شده است. بستر بیوفیلتر با ۶۰٪ کمپوست و ۴۰٪ خرد های چوب همراه با لجن فاضلاب شهری آماده شد و ضمن بارگذاری $8-130\text{ g/m}^3.\text{hr}$ ، اثر دمای 23°C و 30°C ، رطوبت بستر ($55-58\%$)، غلظت ورودی آلاینده ($20-400\text{ ppm}$) و زمان ماند هیدرولیکی ($40-60$ ثانیه) حذف بیولوژیکی TEA مورد بررسی قرار گرفت. نتایج نشان داد که راند مان حذف در غلظت $20-250\text{ ppm}$ بیشتر از ۹۰٪ و در 400 ppm بالاتر از ۶۵٪ می‌باشد. تغییر زمان ماند هیدرولیکی در ستون (B) از 60 به 40 ثانیه میزان TEA خروجی را تا ۳۵٪ افزایش داده و با کاهش رطوبت تا 7.40% ، بازدهی حذف طی 13 روز از 87% به 22% رسیده است. حداکثر ظرفیت حذف در راکتور (A)، $g/\text{m}^3.\text{hr}$ و در راکتور (B)، $g/\text{m}^3.\text{hr}$ $72/2$ به دست آمد.

واژه‌های کلیدی: هوای آلوده صنعتی - تری اتیل آمین - بیوفیلتراسیون - تجزیه بیولوژیکی - کنترل آلاینده‌های صنعتی

مقدمه

برای آلاینده‌هایی با قابلیت تجزیه بیولوژیکی مناسب و غلظتهاي تا $1\text{ gm}^3\text{/km}^3$ می‌باشد [۱، ۲]. در ابتدا روش بیوفیلتراسیون برای حذف ترکیبات بدبو و معدنی نظیر H_2S از هوا کاربرد داشت، اما مطالعات اخیر نشان داده است که بیوفیلترها می‌توانند بطور موافقی آمیزی برای کنترل ترکیبات آلی فرار و آمینه‌ها نیز مورد استفاده قرار گیرند [۳، ۴].

در فرآیند بیوفیلتراسیون هوای آلوده از بستر طبیعی یا مصنوعی عبور کرده و آلاینده‌ها ابتدا به فاز آبی و سپس به بیوفیلم انتقال می‌یابند و سپس توسط جمعیت میکروبی تجزیه بیولوژیکی می‌شوند [۵]. با توجه به ضرورت وجود تراکم مناسبی از میکرووارگانیسم‌های خوگرفته به آلاینده‌های مورد نظر، برای تسريع در تشکیل بیوفیلم غالباً از لجن فعال بعنوان بذر اولیه استفاده می‌شود. رطوبت موردنیاز از طریق مرطوب سازی گاز آلوده ورودی تأمین می‌شود [۶، ۷]. آمینه‌ها عمده‌ترین آلاینده‌های

روشهای فیزیکی (جذب سطحی و میغان) و شیمیایی (جذب، سوزاندن و اکسیداسیون) مختلفی برای تصفیه گازهای آلاینده در رفع آلودگی هوا بکار گرفته می‌شود اما این روشها برای جریانهای گاز آلوده با دبی زیاد و غلظت پایین مقرن به صرفه نمی‌باشند. با توجه به هزینه مواد مصرفی، بهره برداری پیچیده و زائدات ثانوی ناشی از این فرایندها، در دهه‌های اخیر تحقیقات گسترشده ای برای یافتن تکنولوژیهای مناسب‌تر شروع شده که روش‌های بیولوژیکی در زمرة کارآمدترین آنها می‌باشد. سه نوع از این سیستم‌ها در صنایع بکار برده می‌شود: بیوفیلتر، صافی چکنده، و اسکرابر بیولوژیکی. در بیوفیلتراسیون که رایج‌ترین نوع سیستمهای تصفیه بیولوژیکی می‌باشد، آلاینده‌های موجود در گاز آلوده، حين عبور از بستر طبیعی (کمپوست) یا مصنوعی (پلاستیک) بوسیله میکرووارگانیسم‌ها تجزیه می‌شوند. تکنولوژی بیوفیلتراسیون زائدات ثانویه کمتری تولید نموده و هزینه راهبری آن

آمونیاک آزاد میگردد. در راکتورهای بیولوژیکی عملیات تجزیه توسط باکتری‌های آمونیاک‌ساز انجام می‌شود و آمونیاک آزاد شده بر حسب نیاز در رشد سلول‌های جدید شرکت می‌کند و مابقی به صورت NH_4^+ آزاد می‌شود. فرایند آمونیاک سازی عبارت است از آزاد شدن آمونیاک از ترکیبات آلی نیتروژن دار. آمونیاک حاصل از تجزیه تری‌اتیل‌آمین به دلیل وجود ملکولهای آب موجود در بستر به صورت یون آمونیوم در می‌آید. گاز آمونیاک با یون آمونیم در حالت تعادل با یکدیگر قرار می‌گیرند:

آمونیاک یونیزه نشده در تعادل با یون آمونیاک و یون هیدروکسیل واقع می‌شود. این واکنش سریع بوده و توسط پی‌اچ و دما کنترل می‌شود. مرحله بعد نیتریفیکاسیون است که فرآیندی است که طی آن آمونیاک آزاد و یون آمونیوم به نیتریت و نیترات اکسید می‌شوند. در راکتورهای بیولوژیکی، آمونیاک توسط دو گروه باکتری که به توالی عمل می‌کنند تغییر شکل می‌یابد. اثری آزاد شده در این واکنشها، توسط نیتریفايرها در سنتز مواد آلی سلولی از منابع کربن غیر آلی نظیر دی‌اکسید کربن، کربناتها و بی‌کربناتها استفاده می‌شود که فرم غالب، بیکربنات است [۱۲]. گروه باکتری‌های نیتروزوموناس و نیتروباکتر عمده میکروبیایی هستند که عملیات تبدیل آمونیاک به نیترات را بر عهده دارند. لذا در تجزیه بیولوژیکی TEA تبدیل آن تا مرحله نیترات سازی پیش می‌رود و مشکل آزاد شدن آمونیاک در محیط پیش نخواهد آمد [۱۰]. از آنجاییکه TEA ماده‌ای صنعتی است، استانداردهای آن توسط سازمان بهداشت‌حرفه‌ای و سلامت^۳ ارائه شده است. طبق این استاندارد برای ۸ ساعت مجاورت شغلی مقدار مجاز آن ۲۵ ppm و استاندارد سالیانه هوای تنفسی ۰/۰۲۴ ppm می‌باشد [۱۳]. در این تحقیق میزان کارایی روش بیوفیلتراسیون در حذف TEA در اثر نوسانات پارامترهای عملیاتی از جمله بارگذاری، زمان ماند هیدرولیکی، رطوبت و دما مورد بررسی قرار گرفته است. نتایج این تحقیق میتواند در طراحی و راهبری بهینه سیستمهای بیولوژیکی کنترل آلودگی گازهای صنعتی مورد استفاده مدیران صنایع کشور قرار گیرد.

مواد و روشها

بیوفیلتر: دو راکتور سه قسمتی از جنس پلکسی گلاس

گازی منتشره از کارخانه‌های تولید مواد شیمیائی و ریخته‌گریها هستند و تری‌اتیل‌آمین هم یکی از این آلاینده‌های آلی نیتروژن دار محسوب می‌شود. از آنجاییکه آمینها به خوبی قابل تجزیه میکروبی هستند، بیوفیلتراسیون روشی بسیار مطلوب برای تصفیه آنها به شمار می‌رود [۸]. همینطور بیوفیلتراسیون یک فناوری ابداعی کنترل گازهای آلوده به VOCs^۱ یا HAPs^۲ است. میکروارگانیزمهای مسئول این تغییر و تبدیل هم با جذب سطحی روی سطح بستر بیوفیلتر و هم به صورت شناور در آب موجود در خلل و فرج بستر عمل تجزیه را انجام می‌دهند [۹].

ترکیبات نیتروژنه نظیر آمونیاک و آمینها از فرایندهای تولید کودوسوم، ریخته‌گری و صنایع شیمیایی انتشار می‌یابند. برای مثال در زباله‌سوزهای شهری غلظت متیل‌آمین ۵/۳۷ ppm و تری‌اتیل‌آمین ۲۶ ppm گزارش شده است. در تصفیه خانه‌های فاضلاب ۶۰-۸۰ ppm آمونیاک و ۰/۲۶ ppm-۱۵ آنوع آمین وجود دارد [۱۰]. برخی واحدهای ریخته‌گری صنایع خودروسازی در ایران در بخش ماهیچه سازی به روش جعبه سرد فولیک اورتان از سه سیستم اتصال دهنده ماسه استفاده می‌کنند که شامل رزین فنولی، ایزو‌سیانات پلیمری و TEA در نقش کاتالیزور است. کاتالیزور آمینی به عنوان سخت کننده و استحکام بخش با جریان هوا و با فشار از درون قالب حاوی مخلوط ماسه عبور داده می‌شود. لذا در گازهای خروجی از دودکش چنین واحدهای صنعتی وجود دارد. برای مثال گاز خروجی از واحد ریخته‌گری کارخانه ایران خودرو که از سیستم جعبه سرد استفاده می‌کند، آلوده به این آلاینده است. متوسط غلظت TEA درهوای خروجی از این واحد کارخانه حدود ۶۰-۷۰ ppm گزارش شده است [۱۱].

TEA ماده‌ای محرک و بسیار بدبو بوده که برمجاري تنفسی و مخاط ریه با ایجاد گلو درد و تنگی نفس تأثیر می‌گذارد. بر روی سیستم بینایی اثرگذاشته و باعث سوختگی قرنیه می‌شود. در مواردی بر اثر استنشاق این ماده اثراتی نظیر سردرد و تهوع در بین افراد دیده شده است.

تری‌اتیل‌آمین یک آمین نوع سوم است که شکسته شدن شاخه‌های اتیل آن به تدریج طی سه مرحله انجام می‌شود؛ ابتدا دی‌اتیل‌آمین سپس اتیل‌آمین و در نهایت

به ارتفاع یک مترو قطر 10 cm مورداستفاده قرار گرفت. علت استفاده از دو راکتور یکسان، مقایسه تاثیر دما بر روند تجزیه بیولوژیکی TEA است. زیرا فعالیت میکروبها وابسته به دماسه و حد بهینه رشد و فعالیت برای هر گروه از میکروبها در دمای خاصی میباشد. درهربخش راکتورها بهارتفاع 25 cm از آکنده پرشد و با صفحه مشبک از جنس پلکسی گلاس ازبخش دیگر جدا گردید. بین هر بخش فضای خالی وجود داشت تا به کمک صفحه مشبک توزیع مجدد هوا برای ورود به بخش بعد فراهم شود.

شیر خروج هوا برای نمونه برداری در همین قسمت تعییه شده بود. در هر بخش دو دریچه به قطر 4 cm برای نمونه برداری از بستر قرار داشت. برای کنترل دمای بستر، از جریان آب با دمای کنترل شده در خارج ستون استفاده شد تا بتوان دمای بستر را با دقیق $10^\circ\text{C} \pm 1^\circ\text{C}$ کنترل نمود. سنسور مخصوص دما با میله 10 سانتیمتری در یکی از دو دریچه مخصوص نمونه برداری از آکنده بخش میانی قرارداده شده بود. قرائت دمای بستر توسط صفحه نمایشگر دما که بر روی تابلوی سیستم برق نصب شده بود در طی عملیات بیوفیلتر انجام میشد.

در کف راکتور دریچه‌ای برای تخلیه نشتات پیش‌بینی شده بود. هوای حامل TEA از کف بستر به طرف بالا جریان داشت و افت فشار با استفاده از مانومتر آبی پایش میشد. منبع تامین هوای کمپرسور 220 لیتری بود و هوای پس از عبور از فیلترو فلومتر به دو بخش تقسیم میشد. بخش کمی از آن با گذر از فلومتر دوم وارد بطری حاوی محلول TEA شده و پس از خروج از سمت دیگر بطری، وارد جریان هوای ورودی به بستر میشد (گاز آلاینده به صورت خالص و با غلظتهای مورد نظر وارد سیستم شده است).

بخش اصلی هوای عبوری از بستر بعد از گذشتن از برج مرطوب ساز همراه با هوای حامل TEA از کف وارد راکتور میشود. برج مرطوب ساز مخزنی مکعب مستطیل به ارتفاع 100 cm و سطح مقطع 900 cm^2 بود. برای تنظیم درجه حرارت مرطوب ساز از المنت حرارتی 2000 وات دارای ترمومتر استفاده شد. رطوبت هوای بعد از گذر از مرطوب ساز به حد اشباع می‌رسید (بیش از 95%). شکل (۱) راکتور بیولوژیکی و معلومات آنرا نشان می‌دهد.

شکل-۱: سیستم بیوفیلتر همراه با ضمایم: ۱- پمپ هوا.
۲- فیلتر هوا. ۳- فلومتر(وتامتر). ۴- ظرف حاوی TEA
۵- مرطوب ساز. ۶- مخزن آب ۷- پمپ آب ۸- بستربیوفیلتر.
۹- سنسور دمای. ۱۰- مانومتر. ۱۱- کنترل کننده دمای.
۱۲- ورود هوا. ۱۳- خروج هوا. ۱۴- خروج نشتات ۱۵- شیر نمونه برداری هوا. ۱۶- دریچه نمونه برداری از بستر.

جدول ۱: خصوصیات ماده بستربیوفیلتر راه‌اندازی بیوفیلتر.

۲۸۲۸	لجن فعال اضافه شده (گرم)
۴۹۹۸	وزن کل آکنده (گرم)
۵/۸۸	حجم مفید بستر (لیتر)
۸۵۰	دانسیته بستر (گرم بر لیتر)
۵۶/۶	رطوبت (درصد وزنی)
۷/۵	pH
۲۱۷۰	وزن آکنده بدون آب (گرم)
۳/۵	افت فشار اولیه (سانتی متر آب)
۲۰-۲۵	دما راکتور A ($^\circ\text{C}$)
۳۰ ± 1	دما راکتور B ($^\circ\text{C}$)

مواد بستر: آکنده بستر مخلوطی از مکعب‌های چوبی با ابعاد $5-0/6\text{ cm}^0$ و کمپوست کارخانه کهربیزک با دانه بندی $2-5\text{ mm}$ به نسبت $60:40$ حجمی چوب: کمپوست (با C:N:P $100:7:2$ ، $43\%:43\%:48\%$ مواد آلی و pH برابر 7.2) بود. 3 لیتر لجن فعال فاضلاب شهری (با MLVSS حدود 5000 میلی گرم در لیتر) بعد از 20 روز هوادهی و افزودن 10 ppm TEA در روز به آن آماده سازی و به

شکل (۱): سیستم بیوفیلتر همراه با ضمایم: ۱- پمپ هوا.
۲- فیلتر هوا. ۳- فلومتر(وتامتر). ۴- ظرف حاوی TEA
۵- مرطوب ساز. ۶- مخزن آب ۷- پمپ آب ۸- بستربیوفیلتر.
۹- سنسور دمای. ۱۰- مانومتر. ۱۱- کنترل کننده دمای.
۱۲- ورود هوا. ۱۳- خروج هوا. ۱۴- خروج نشتات ۱۵- شیر نمونه برداری هوا. ۱۶- دریچه نمونه برداری از بستر.

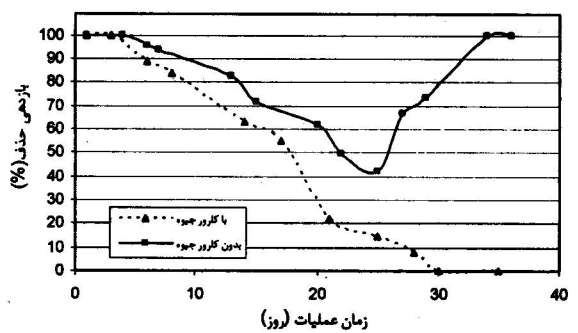
جدول ۱: خصوصیات ماده بستربیوفیلتر راه‌اندازی بیوفیلتر.

۲۸۲۸	لجن فعال اضافه شده (گرم)
۴۹۹۸	وزن کل آکنده (گرم)
۵/۸۸	حجم مفید بستر (لیتر)
۸۵۰	دانسیته بستر (گرم بر لیتر)
۵۶/۶	رطوبت (درصد وزنی)
۷/۵	pH
۲۱۷۰	وزن آکنده بدون آب (گرم)
۳/۵	افت فشار اولیه (سانتی متر آب)
۲۰-۲۵	دما راکتور A ($^\circ\text{C}$)
۳۰ ± 1	دما راکتور B ($^\circ\text{C}$)

با راندمان حذف ۱۰۰٪ به کارخودادمه می‌داد. به مرور که جمعیت میکروباهای سازگار شده با محیط فزونی یافت، عملیات تجزیه بیولوژیکی هم افزایش یافت و به حدود ۱۰٪ رسید.

تعیین میزان جذب آکند

نتایج سنجش TEA هنگام راهاندازی بیوفیلتر نشان داد که مکانیزم‌های دیگری نظیر جذب سطحی آکند می‌تواند در حذف این ماده در ابتدای عملیات مؤثر باشد. برای تحقیق در خصوص عملکرد بیوفیلتر هنگام راه اندازی سیستم و تعیین زمان آغاز تجزیه بیولوژیکی وبا تحقیق در مورد میزان جذب سطحی آکند، بیوفیلتری حاوی آکند مشابه، که به وسیله کلرور جیوه، میکروب کشی شده بود آماده شد. سپس ضمن عبورهای حاوی TEA ۲۰ ppm از بستر، تغییرات غلظت آلاینده در هوای خروجی طی روزهای متوالی مورد بررسی قرار گرفت. نتایج نشان داد که بعد از گذشت ۳۰ روز آلاینده بدون حذف از سیستم خارج شده است. همین شرایط عملیاتی درستون بیوفیلتری که میکروباهای موجود در کمپوست و لجن تصفیه خانه فاضلاب شهری در آن فعال بودند، اعمال شد که نتایج در شکل (۲) ملاحظه می‌شود.



شکل ۲: مقایسه میزان حذف تری‌اتیل‌آمین در هنگام راهاندازی بیوفیلتر با و بدون افزودن کلرور جیوه.

این آزمایش نشان داد که همزمان با سایر مکانیزم‌های حذف، تجزیه بیولوژیکی تری‌اتیل‌آمین آغاز می‌شود. مقایسه نتایج بستر میکروب کشی شده (با کلرور جیوه) با بستر معمولی حاکی از آن است که طی دو هفته اول میزان تجزیه بیولوژیکی نسبت به سایر مکانیزم‌های حذف در بستر (جذب، جذب سطحی و...) کم بوده اما بعد از سه هفته، تجزیه زیستی افزایش یافته به طوری که بعد از یک ماه تنها مکانیزم حاکم، حذف بیولوژیکی بوده است.

بستر افزوده شد. در جدول (۱) خصوصیات بستر و شرایط راهاندازی بیوفیلتر ذکر شده است.

شرایط کارکرد راکتور: غلظت TEA در هوای ورودی به راکتورهای A و B در طول عملیات به ترتیب در محدوده ۲۵-۳۰۰ ppm و ۲۰-۳۸۵ ppm در بستربیوفیلتر A و B به ترتیب ۷۷g/m³.hr و ۱۱۵g/m³.hr بوده است. رطوبت هردو راکتور بین ۵۰٪ درصد و pH بستربیوفیلتر دو ستون بین ۹/۳-۷/۵ تغییریود به طوری که تا حدود ۸ ماه پس از آغاز بیوفیلتراسیون با وجود افزودن بافر، متوسط pH در کل بستربالاتراز ۸/۵ بود ولی پس از رسیدن به حالت تعادل بین ۷/۵ تا ۸/۳ ثابت شد.

نمونه برداری و سنجش: نمونه برداری از شیرهای ورودی و خروجی هوا با گاز شویی در حلal تری اتیل آمین (۲۰ ml) متابول، دبی هوای عبوری ۳۴۰ ml/min به مدت ۱۵ دقیقه انجام شد. سنجش نمونه ها توسط دستگاه اسپکتروفوتومتر (GBC UV/VIS مدل 911) در ۲۱۵ nm انجام شد. نمونه های استاندارد دقیقاً به همان روش نمونه برداری از هوای خروجی از بستر تهیه شد. یعنی مقادیر مشخصی از TEA به کیسه مخصوص حاوی ۱۰ لیتر هوا تزریق و سپس در حلal متابول به مدت ۱۵ دقیقه گازشویی شد [۱۴، ۱۵].

برای تعیین رطوبت بستر ۲ گرم ماده جامد از هریک از بخش‌های بستر به مدت ۲۴ ساعت در آون با دمای ۱۰.۵°C قرار داده شد. بعد از سرد شدن ماده و توزین مجدد آن میزان رطوبت محاسبه گردید. برای تعیین pH بستر حدود ۱ گرم ماده جامد هر بخش از ستون ها در ۲۰ ml آب قطرحل و برای مدت ۱۰ دقیقه بهم زده شد [۱۶].

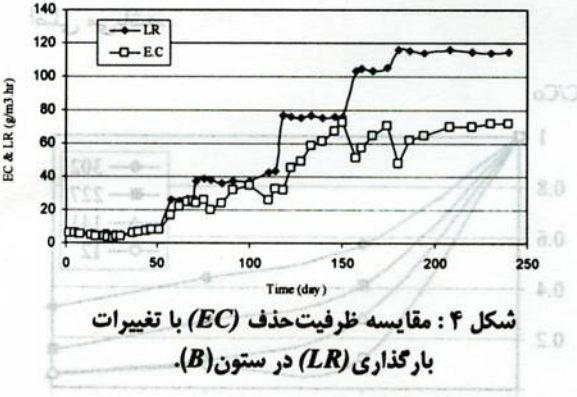
نتایج و بحث

راهاندازی

پس از آماده شدن راکتورهای بیولوژیکی هوای حاوی TEA با غلظت کم (حدود ۲۰-۳۰ ppm) وارد شد. در ابتدا به دلیل جذب سطحی آکند بستر، حداقل بازدهی در کاهش TEA مشاهده شد. پس از آن به تدریج ظرف مدت ۲۵ روز راندمان سیستم از ۱۰۰٪ به ۴۲٪ کاهش یافت. حذف کامل TEA در آغاز عملیات نمی‌توانست به دلیل تجزیه میکروبی باشد زیرا در این صورت باید سیستم

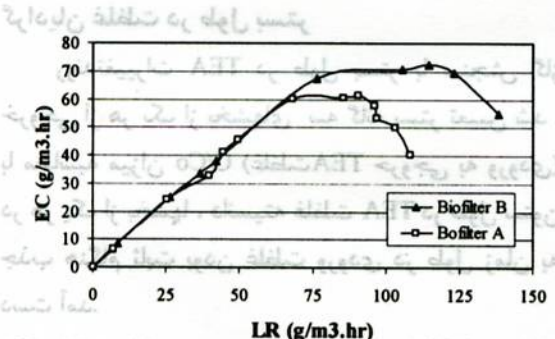
رسید، به دلیل اثر بازدارندگی TEA و محدودیت توان بستر در حذف TEA اضافی، میزان ظرفیت حذف بستراضافه نشده و با افزایش غلظت درصد حذف شروع به کاهش می‌نمود.

نتایج نشان داد که هر قدر غلظت ورودی بالاتر باشد، زمان رسیدن به بالاترین حد بازدهی طولانی تر است. شکل (۴) تغییرات ظرفیت حذف را نسبت به افزایش بارگذاری (LR)^۵ بر سیستم در طول زمان نشان می‌دهد. در این شکل نیز همان روند افزایش و کاهش نسبی ظرفیت حذف TEA ملاحظه می‌شود. ظرفیت حذف بستر (EC) نیز در طی زمان کاهش بازدهی سیستم، اندکی کاسته می‌شود و این امر نشان می‌داد که کمی حالت بازدارندگی وجود داشته است. ولی در عین حال توان بستر در تجزیه بیولوژیکی TEA با افزایش آن از بین نمی‌رفت و مدتی زمان لازم بود تا با شرایط افزایش غلظت آلاینده، خوبگیرد و به حالت پایدار درآید. افزایش بعدی ظرفیت حذف مؤید این امر بود.



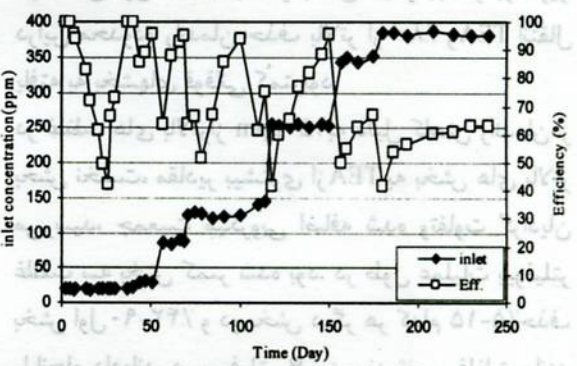
شکل ۴: مقایسه ظرفیت حذف (EC) با تغییرات بارگذاری (LR) در ستون (B).

تغییرات ظرفیت حذف در دو بیوفیلتر A و B روند یکسانی داشت. حداکثر ظرفیت حذف TEA در بسترها بیولوژیکی A و B به ترتیب ۱۷۵ و ۱۳۰ g/m³.hr بود. شکل ۵ توان حذف بستر (EC) را در مقایسه با بارگذاری در دو فیلتر A و B نشان می‌دهد.



شکل ۵: مقایسه تاثیر بارگذاری (LR) بر ظرفیت حذف (EC) در بیوفیلترهای A و B.

راهبری بعد از راه اندازی بیوفیلتر برای حفظ شرایط بهینه در رشد میکروبها هر دو هفته یکبار بستر زیر ورو می‌شد تا از توزیع غیر یکنواخت هوا در طول بستر جلوگیری شود. چون در ۸ ماه اول pH بالاتر از ۸/۵ بود، بافر فسفات اضافه می‌شد که هم تاحدودی به رطوبت بستر کمک کند و هم pH را در حد ۸/۵ حفظ نماید. پس از رسیدن راندمان حذف به حداکثر خود و عدم تغییر غلظت TEA خروجی برای حدود یک هفته، غلظت TEA ورودی افزایش داده می‌شد. میزان افزایش TEA ورودی در غلظت‌های کمتر از ۲۰۰ ppm، حدود ۷۰-۸۰٪ و در غلظت‌های بیش از ۲۰۰ ppm، حدود ۴۰-۵۰٪ بوده است. افزایش TEA با تنظیم هوای ورودی به بطری TEA به کمک روتامتر انجام می‌شد. پس از گذشت حدود ۸ ماه از آغاز کار بیوفیلتر pH در محدوده ۸/۳-۸/۵ بدون افزودن بافر ثابت شد و رطوبت بستر نیز در محدوده ۵۵-۶۵٪ ثابت ماند.



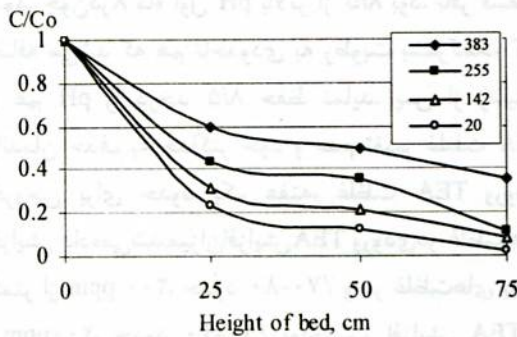
شکل ۳: مقایسه بازدهی سیستم با تغییرات غلظت ورودی در ستون (B).

تأثیر غلظت

برای بررسی تأثیر غلظت ورودی در کارایی سیستم، هر بار پس از افزایش غلظت ورودی TEA و افزایش بازدهی اضافه حذف به بیش از ۹۰٪، غلظت آلاینده ورودی اضافه می‌شود (شکل ۳). هر بار پس از افزایش غلظت، ابتدا راندمان کاهش می‌یافتد که دو علت برای آن می‌توان ذکر کرد: (۱) کمبود جمعیت میکروبی برای تجزیه TEA اضافه شده، (۲) ایجاد حالت بازدارندگی برای میکروب‌ها سمی باشد ولی اثر سمیت و بازدارندگی TEA در حذف آلاینده در غلظت‌های بالاتر از ۳۵۰-۴۰۰ ppm دیده شده است [۸]. هنگامی که غلظت ورودی به بالاتر از ۳۵۰ ppm رسید، بقایه نسلی میکروبی کم شد و این اتفاق باعث شد تا از توزیع غیر یکنواخت هوا در طول بستر جلوگیری شود.

تأثیر دما

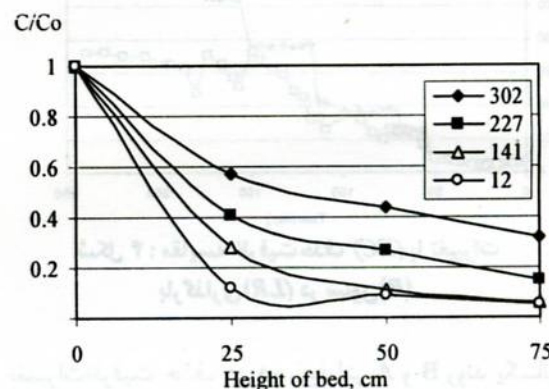
مقایسه راندمان حذف در بیوفیلترهای A و B نشان می‌دهد که ستون B از کارائی بالاتری برخوردار است. بطوری کمتر ۲۵۰ ppm، ستون A ۸۰٪ ولی ستون B ۹۰٪/۴ راندمان داشته است. راندمان ۶۰ تا ۷۰٪ در هر دوبیوفیلتر زمانی مشاهده شده غلظت ورودی TEA در ستون A ۲۸۰ ppm و در ستون B ۳۸۰ ppm بود. نتایج نشان میدهد که به ازاء حدود ۵-۷°C افزایش دما راندمان حذف ۱۰-۳۵٪ افزایش یافته است. در بیوفیلترها معمولاً محدوده دمایی میانه دوستی $25-35^{\circ}\text{C}$ توصیه می‌شود. اغلب به ازاء هر 10°C افزایش دما سرعت رشد میکروبها دو برابر می‌شود. از طرفی چون ثابت هنری ترکیبات آلی با افزایش دما افزایش می‌یابد و حلالیت ترکیبات در فاز مایع کمتر می‌شود، از بازده بیوفیلتر کاسته می‌شود. در دو بیوفیلتر A و B هرچند عامل فوق مؤثر باشد ولی افزایش رشد میکروبی با بالارفتن دما، عامل اصلی می‌باشد.



شکل ۷: مقایسه حذف TEA در سه بخش بیوفیلتر با تغییر غلظت ورودی TEA (راکتور B).

در غلظتها ورودی کمتر از ۱۵۰ ppm تفاوت بازدهی سیستم در بخش اول نسبت به دو بخش دیگر بیشتر بود زیرا در این محدوده راندمان حذف بالاتر از ۸۰٪ و آنتقال Y ایافته به بخش‌های فوقانی کمتر بود.

در غلظت‌های بالاتر از ۱۵۰ ppm به دلیل کاهش راندمان در بخش نخست، مقدار بیشتری از TEA به بخش‌های بالاتر می‌رسید، جمعیت میکروبی اضافه شده و تفاوت گرادیان غلظت سه بخش کمتر شده بود. در طول عملیات بیوفیلتر بخش اول ۴۲-۹۰٪ و دو بخش دیگر هر کدام ۱۵-۵٪ حذف را انجام داده‌اند. در بیوفیلتر B نیز روند تغییر غلظت مانند بیوفیلتر A بوده است.



شکل ۶: مقایسه حذف TEA در سه بخش بیوفیلتر با تغییر غلظت ورودی (راکتور A).

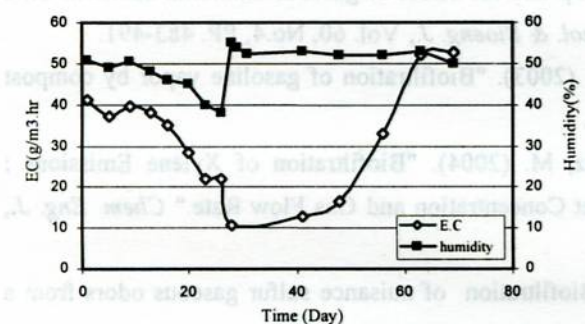
گرادیان غلظت در طول بستر

رونديفیلترات TEA در طول بستر با سنجش گاز خروجی از هر یک از بخش‌های سه گانه بستر تعیین شد. با محاسبه میزان C/C₀ (غلظت TEA خروجی به ورودی) در هر یک از بخشها، دانسیته غلظت TEA در طول ستون جذب هنگام ثابت بودن غلظت ورودی در طول زمان به دست آمد.

شکل (۶) و (۷) به ترتیب گرادیان غلظت TEA در طول ستون دو بیوفیلتر A و B نشان می‌دهد. در غلظت‌های

تأثیر زمان ماند هیدرولیکی
زمان ماندگار در بستر، یکی از پارامترهای مهم در کارائی سیستم‌های بیوفیلتر است. برای بررسی تأثیرزمان ماند هیدرولیکی، غلظت ورودی TEA ثابت، ولی دبی هوای عبوری به تدریج اضافه شد. در سه زمان ماند ۶۰، ۴۸ و ۴۰ ثانیه، غلظت ورودی آلینده در هوای ورودی به سیستم ۲۲۰ ppm نگه داشته شد. نتایج نشان داد که کاهش زمان ماند از ۶۰ ثانیه به ۴۸ ثانیه باعث ۱۰٪ کاهش در ظرفیت حذف بیوفیلتر شده است. اما با کاهش زمان ماند به ۴۰ ثانیه راندمان به پایین‌تر از ۵۰٪ رسیده و ظرفیت حذف به $38 \text{ g/m}^3 \cdot \text{hr}$ تغییر یافت (یعنی ۳۵٪ کاهش داشته است). تغییر بازدهی بیوفیلتر با کاهش زمان

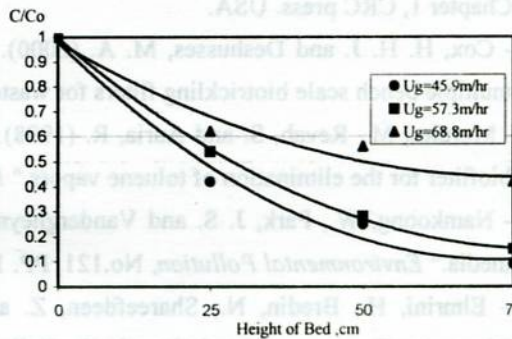
۵۵-۵۰٪، حدود ۳۰ روز طول کشید تا ستون مجدداً به وضعیت قبل برگردد، زیرا فعالیت میکروبها بعد از افزایش رطوبت به سرعت زیاد نمی‌شود. علت آن است که بسترهشک شده و وقتی مجدداً مرطوب می‌شود، ملکولهای آب جذب سطح ذرات می‌شود. در چنین بستری فعالیت آب کاملاً کم است و باکتری‌ها در محیطی که آب تنها جذب سطح جامد می‌شوند، فعال نخواهند بود. نتایج نشان داد که در دو راکتور A و B تاثیر کاهش رطوبت در ظرفیت حذف بستر یکسان است.



شکل ۹: مقایسه تغییر ظرفیت حذف با تغییر رطوبت بستر در طول زمان در راکتور A.

ماند می‌تواند به دو دلیل باشد: اول؛ کاهش نفوذ TEA در بیوفیلم و عدم دسترسی میکروبها به ماده مغذی و اختلال در تجزیه بیولوژیکی، دوم؛ کانالیزه شدن بستر به دلیل افزایش سرعت عبور هوا و عدم توزیع یکنواخت هوا در سیستم.

شکل (۸) میزان حذف TEA را در سه بخش بستر در سرعت‌های مختلف هوا از ورودی مقایسه می‌کند.



شکل ۸: اثر تغییر دبی هوا از عبوری از بستر در حذف TEA در طول راکتور B.

همانگونه که در این شکل ملاحظه می‌شود در سرعت‌های ورودی $45.9 \text{ m}^3/\text{hr}$ و $57.3 \text{ m}^3/\text{hr}$ بازدهی کلی سیستم در حذف TEA ۸۵-۹۰٪ اما در سرعت ورودی $68.8 \text{ m}^3/\text{hr}$ بازدهی تا حدود ۵۵٪ کاهش یافته بود. تاثیر زمان ماند هیدرولیکی در هر سه بخش بستر به همین نحو مشهود بود.

نتیجه گیری

نتایج بیوفیلتراسیون تری‌اتیل‌آمین را می‌توان

چنین خلاصه کرد:

- تری‌اتیل‌آمین قابلیت تجزیه بیولوژیکی در یک بیوفیلتر را دارد و تا غلظت ۱۵۰ ppm از ۹۰٪ دردو دمای ۲۲ و 30°C بازدهی داشته است. بیوفیلتر با دمای بالاتر بازدهی بیشتری نسبت به بیوفیلتر دیگر نشان داد.
- گرادیان غلظت در طول بستر بیولوژیکی یکنواخت نبوده و بخش اول میزان بیشتری تری‌اتیل‌آمین را حذف می‌کرد.
- کاهش زمان ماند هیدرولیکی به $1/3$ بازدهی را ۴۵٪ و کاهش ۲۰٪ رطوبت بستر بازدهی بیوفیلتر را به $1/4$ تقلیل داد.
- شرایط بهینه در بیوفیلتراسیون تری‌اتیل‌آمین: رطوبت ۵۵-۵۰٪، دما 30°C ، pH حدود خنثی (۷) و میزان بارگذاری برای بازدهی بیش از ۹۰٪، $45 \text{ g/m}^3 \cdot \text{hr}$ توصیه می‌شود.

تأثیر رطوبت در این تحقیق رطوبت بستر بین ۵۰ تا ۵۵ درصد حفظ شد. منتها در یک مورد خاص که رطوبت تا حدود ۴۰ درصد کاسته شده بود عملکرد بستر و زمان رسیدن به وضعیت قبل از کاهش رطوبت مورد بررسی قرار گرفت که حاصل آن در شکل (۹) ملاحظه می‌شود. نتایج نشان دادکه با کاهش رطوبت به ۴۰٪ راندمان طی ۱۳ روزاً 87% کاهش یافته است. برای ترکیبات آلی قابل انحلال در آب نظری TEA (773 g/l) اولین قدم در بیوفیلتراسیون، انتقال آلاینده از هوا به آب است و میزان آب موجود در بستر عامل مهمی در جذب آلدگی از هواست. هر قدر رطوبت بیشتر باشد، جذب آلدگی بیشتر، فرست تجزیه بیشتر و سرعت واکنش بیشتر خواهد بود. علت کاهش بازدهی سیستم عدم فعالیت میکروبها در محیط کم آب و کاهش جدا شدن TEA از هوا و انحلال آن در آب است. با افزایش رطوبت بستر به حد مطلوب

اندکی کمتر از نتایج به دست امده از تحقیق تانگ در ۱۹۹۶ [۸] است. وی بازدارندگی TEA را در ۴۶·ppm ذکر کرده است.

- ۰ نتایج حذف تری اتیل آمین با تنها تحقیقی که در مورد حذف بیولوژیکی تری اتیل آمین انجام شده تطبیق دارد و تنها میزان بازدارندگی غلظت های بالاتر از ۴۶·ppm در حذف بیولوژیکی TEA مراجع

- 1 - Boswell, J. (2002). "Compost-based biofilters control air pollution." *Biocycle*, Vol. 45, No.1, PP. 42-49.
- 2 - Devinny, J. S., Deshusses, M. A. and Webster, T. S. (1999). *Biofiltration for air pollution control*, 1th Ed. Chapter 1, CRC press. USA.
- 3 - Cox, H. H. J. and Deshusses, M. A. (2000). "Innovative experimental setup for the parallel operation of multiple bench scale biotrickling filters for waste air treatment." *J. Environ. Technol.*, No. 21, PP.427- 435.
- 4 - Morales, M., Revah, S. and Auria, R. (1998). "Start-Up and the effect of gaseous ammonia additions on a biofilter for the elimination of toluene vapors." *Biotechnol. & Bioeng. J.*, Vol. 60, No.4, PP. 483-491.
- 5 - Namkoong, W., Park, J. S. and Vandergheynst, J. S. (2003). "Biofiltration of gasoline vapor by compost media." *Environmental Pollution*, No.121, PP. 181-187.
- 6 - Elmrini, H., Bredin, N., Shareefdeen, Z. and Heitz, M. (2004). "Biofiltration of Xylene Emissions : Bioreactor Response to Variations in the Pollutant Inlet Concentration and Gas Flow Rate." *Chem. Eng. J.*, Vol.100, No. 1-3, PP.149-158.
- 7 - Shareefdeen, Z., Biran, H. and Wilson, S. (2002). "Biofiltration of nuisance sulfur gaseous odors from a meat rendering plant." *J. Chem. Technol.Biotechnol.*,Vol.77 , No. 1-4. PP. 128-139.
- 8 - Tang, H. M. and Hwang, S. J. (1996). "Waste gas Treatment in biofilters." *J. Air & Waste Manage. Assoc.*, No. 46, PP. 349-354.
- 9 - Mc Farland, M. J., Swope,T.B. and Palmer, G. R. (2003). "Reduction of hazardous air pollutant emissions using biofiltration." *J. Manage. Environ. Quality*, No. 14, PP. 590-598.
- 10 - Chou, M. S. and Shiu, W. Z. (1997). "Bioconversion of methylamine in biofilters." *J. Air & Waste Manage. Assoc.*,No. 47, PP. 58-65.
- 11- Golbabai, F., Abbaspoour, M., Davami, P. and Malek-Afzali, S. (2003). "Select and design the air pollution treatment for triethylamine by considering environmental aspects as a pollutant in automotive foundry's industry." *Proceeding of 6th National Congress on Environmental Health, Mazandaran University of Medical Sciences, Iran*, PP. 262-270.
- 12 - Reynolds, T. D. and Richards, P. A. (1995). *Unit operations and processes in environmental engineering*. 2th Ed. PWS publishing Co, Boston, MA.
- 13 - *Threshold Limit Values for Chemical Substances and physical agents and Biological Exposure Indices (ACGIH)*, 2000.
- 14 - Lodge, J. P. (1990). *Methods of Air Sampling and Analysis*, Lewis Publisher.
- 15 - Gupta, P. K. (2004). *Methods in environmental analysis water, soil and air*. Jodhpur Agrobios publisher.
- 16 - *Standard methods for the examination of water and wastewater*. (1995). Washington American Public Health Association.

واژه های انگلیسی به ترتیب استفاده در متن

- 1 - Volatile Organic Compounds
- 2 - Hazardous Air Pollutants
- 3 - Occupational Safety and Health(OSHA)
- 4 - Elimination Capacity (EC)
- 5 - Loading Rate (LR)
- 6 - Mesophilic